ШУХИН Анатолий Александрович

СПОНТАННОЕ ЧЕТЫРЁХВОЛНОВОЕ СМЕШЕНИЕ И ПРОТИВОНАПРАВЛЕННОЕ СПОНТАННОЕ ПАРАМЕТРИЧЕСКОЕ РАССЕЯНИЕ В ОПТИЧЕСКИХ ВОЛНОВОДАХ

01.04.05 — Оптика

АВТОРЕФЕРАТ

диссертации на соискание учёной степени кандидата физико-математических наук

Работа выполнена в лаборатории нелинейной оптики обособленного структурного подразделения ФИЦ КазНЦ РАН «Казанский физико-технический институт им. Е.К. Завойского».

Научный руководитель: Калачёв Алексей Алексеевич,

доктор физико-математических наук, профессор РАН, зам. директора по научной работе ФИЦ КазНЦ РАН, руководитель Казанского физико-технического института им. Е.К. Завойского ФИЦ КазНЦ РАН, заведующий кафедрой оптики и нанофотоники Института физики ФГАОУ ВО «Казанский (Приволжский) федеральный университет».

Официальные оппоненты: Сазонов Сергей Владимирович,

доктор физико-математических наук, профессор, начальник отдела экспериментальных исследований конденсированных сред Курчатовского ядерно-физического комплекса НИЦ «Курчатовский институт».

Катамадзе Константин Григорьевич,

кандидат физико-математических наук, старший научный сотрудник лаборатории физики квантовых компьютеров ФГБУН «Физико-технологический институт им. К.А. Валиева Российской академии наук».

Ведущая организация: ФГБОУ ВО «Московский государственный

университет имени М.В.Ломоносова» (МГУ), г.

Москва

Защита состоится «17» декабря 2020 г. в 15 ч. 40 мин. на заседании диссертационного совета КФУ.01.02 при ФГАОУ ВО «Казанский (Приволжский) федеральный университет» по адресу: 420008 г. Казань ул. Кремлевская, д. 16а, ауд. 110.

С диссертацией можно ознакомиться в Научной библиотеке им. Н.И. Лобачевского Казанского (Приволжского) федерального университета (Казань, Кремлевская, д. 35). Электронная версия размещена на официальных сайтах ВАК при Министерстве науки и высшего образования $P\Phi$ (vak2.ed.gov.ru) и Казанского (Приволжского) федерального университета (kpfu.ru).

Автореферат разослан «__» ____ 2020 г. Ученый секретарь диссертационного совета: д.ф.-м.н., профессор

Камалова Д.И.

ОБЩАЯ ХАРАКТЕРИСТИКА РАБОТЫ

Актуальность. В настоящее время много внимания уделяется разработкам источников неклассических состояний света. Суперпозиционные состояния одиночных фотонов и перепутанные состояния нескольких фотонов составляют основу существующих квантово-оптических технологий, а источники однофотонных и двухфотонных состояний являются необходимыми элементами для работы большинства протоколов в квантовой оптике и квантовой информатике [1,2].

Одним из перспективных подходов для решения данной задачи является использование нелинейно-оптических эффектов, таких как спонтанное параметрическое рассеяние (СПР) и спонтанное четырёхволновое смешение (СЧВС). Благодаря возможностям перестраивать длину волны излучения в широких пределах, генерировать спектрально-ограниченные волновые пакеты при комнатной температуре, а также получать однофотонные состояния с оповещением, СПР и СЧВС являются одними из самых широко используемых явлений в современной квантовой и нелинейной оптике [3].

источникам неклассических состояний света предъявляются различные требования, к числу которых, в частности, относятся высокая эффективность генерации, а также малые потери при совмещении с телекоммуникационными сетями и оптическими интегральными схемами. Многообещающим подходом для удовлетворения данным требованиям является использование оптических волноводных структур в качестве нелинейных сред [4, 5]. В случае СПР роль такой среды выполняют оптические волноводы, расположенные в кристалле, а в случае СЧВС оптические нановолокна или фотонно-кристаллические волокна. Благодаря малому поперечному сечению и геометрии мод, такие структуры позволяют на порядки повысить эффективность нелинейных процессов и идеальным образом согласовывать источники квантовых состояний света с оптическими интегральными схемами и телекоммуникационными сетями. К тому же, наличие значительного эванесцентного поля у оптических нановолокон и пустот у фотонно-кристаллических волокон делает данные среды перспективными с точки зрения совмещения источника квантовых состояний света и квантовой памяти в одном устройстве.

Если говорить о перспективе совмещения источников и квантовой памяти, то важно, чтобы генерируемые состояния обладали малой спектральной шириной, т.к. узкополосные однофотонные волновые пакеты суб-ГГц или ГГц спектральной ширины могут эффективно взаимодействовать с атомными системами и поэтому являются неотъемлемой частью реализации протоколов квантовых вычислений и квантовой связи, включающих оптическую квантовую память [6].

Таким образом, создание источников однофотонных и двухфотонных состояний на основе нелинейных явлений в оптических волноводных структурах является актуальным направлением в квантовой оптике и квантовой информатике. Такой подход в перспективе может привести к созданию источников, которые бы генерировали квантовые состояния с заранее заданными характеристиками и в заданные моменты времени, что является необходимым условием для реализации бозонной выборки, обмена перепутыванием, создания полномасштабного квантового интернета и др. [7].

Другой областью квантово-оптических технологий, где квантовые состояния света играют ключевую роль, являются квантовые сенсоры [8]. Наличие у излучения свойств, отсутствующих в классической оптике, позволяет создать сенсоры нового типа и повысить чувствительность при измерении различных физических величин, к числу которых относится показатель преломления. Измерение показателя преломления остаётся важной задачей в различных областях науки и техники, поскольку даёт важную информацию о качественном и количественном составе исследуемой среды. Разработка методов, позволяющих с высокой чувствительностью определять показатель преломления сред за счёт использования квантовых состояний света, является актуальной научно-практической задачей.

Настоящая диссертация посвящена решению задач, отвечающих указанным тенденциям в развитии современных квантовых технологий.

Целью данной диссертационной работы является создание источников однофотонных и перепутанных двухфотонных состояний на основе противонаправленного спонтанного параметрического рассеяния в периодически модулированных волноводах титанил-фосфата калия и на основе спонтанного четырёхволнового смешения в оптических нановолокнах и фотонно-кристаллических волокнах, а также разработка метода определения показателя преломления сред на основе спонтанного четырёхволнового смешения в оптических нановолокнах.

Для достижения поставленной цели решались следующие задачи:

- 1. С помощью математического моделирования рассчитать основные величины и функции, характеризующие спонтанное параметрическое рассеяние в периодически модулированном волноводе титанил-фосфата калия и спонтанное четырёхволновое смешение в оптических нановолокнах и фотонно-кристаллических волокнах: эффективные показатели преломления на различных длинах волн и при различных параметрах нелинейных сред, модовые функции, функции фазового синхронизма, совместную спектральную интенсивность, разложение Шмидта, провал Хонга-Оу-Манделя.
- 2. Экспериментально исследовать противонаправленный режим

- СПР в волноводе РРКТР. Определить спектральную ширину противонаправленного режима СПР в указанном волноводе. Измерить корреляционные функции рассеянного поля.
- 3. Изготовить серию идентичных оптических нановолокон. Измерить профили пропускание. Экспериментально исследовать ИХ СЧВС в оптических нановолокнах. Измерить основные функции, характеризующие источник однофотонных коррелированных И двухфотонных состояний: кросс-корреляционную функцию, автокорреляционную функцию оповещением, совместную \mathbf{c} спектральную интенсивность бифотонного поля.
- 4. С помощью математического моделирования рассчитать совместную бифотонного спектральную амплитуду поля, рождающегося при нановолокне различной величине показателя преломления окружающей нановолокно. Рассчитать чувствительность среды, рефрактометрического метода.

Положения, выносимые на защиту:

- 1. В противонаправленном режиме спонтанного параметрического рассеяния наблюдается сужение спектра генерируемых однофотонных состояний.
- 2. В режиме спонтанного четырёхволнового смешения в нерегулярных оптических нановолокнах наблюдается генерация частотно-перепутанных двухфотонных состояний. Нерегулярность диаметра оптических нановолокон приводит к модуляции спектра бифотонного поля. Оптимизация параметров накачки и профиля нерегулярного нановолокна позволяет с высокой эффективностью генерировать факторизованные по частоте двухфотонные состояния.
- 3. Спонтанное четырёхволновое смешение в оптических нановолокнах позволяет с высокой чувствительностью регистрировать изменение показателя преломления окружающей среды в ИК области спектра, детектируя фотоны только в видимой области спектра.

Научная новизна:

- 1. Впервые экспериментально реализован противонаправленный режим спонтанного параметрического рассеяния, который позволяет генерировать узкополосные однофотонные состояния, необходимые для эффективного взаимодействия излучения с атомными системами для квантовой связи и квантовых вычислений.
- 2. Предложен метод определения показателя преломления сред, основанный на спонтанном четырёхволновом смешении в оптическом нановолокие, который позволяет исследовать вещества в ИК области

- спектра, регистрируя фотоны в видимой области спектра. Тем самым метод позволяет избавиться от низкоэффективной и дорогостоящей аппаратуры для измерения спектров в ИК области.
- 3. Впервые произведен расчёт функции совместной спектральной интенсивности для нерегулярных оптических нановолокон, что позволяет учесть реальный профиль оптических нановолокон, которые получаются при изготовлении.
- 4. Впервые измерена гистограмма автокорреляции с оповещением и функция совместной спектральной интенсивности бифотонного поля, генерируемого в нерегулярных оптических нановолокнах, что позволяет более полно охарактеризовать источник однофотонных и перепутанных двухфотонных состояний для его дальнейшего использования.

Научная и практическая значимость. Разработан и запатентован метод измерения показателя преломления газообразных, жидких и твердых тел. На основе данного метода может быть создан высокочувствительный сенсор для различных научно-практических задач.

Развита методика расчета спектра бифотонного поля, рождающегося в процессе спонтанного четырёхволнового смешения в нерегулярных оптических волокнах. Данная методика позволяет учитывать интерференционные эффекты, возникающие при наблюдении нелинейных явлений волноводных структурах с переменным сечением, а также способствует более глубокому пониманию процессов, происходящих в нерегулярных волноводах.

Созданы источники однофотонных и коррелированных двухфотонных состояний света на основе спонтанного четырёхволнового смешения и спонтанного параметерического рассеяния. Данные источники могут быть использованы в квантовых информатике и квантовой оптике.

обеспечивается Достоверность полученных результатов современного сертифицированного экспериментального использованием оборудования, воспроизводимостью экспериментальных результатов, комплексным сочетанием экспериментальных методов исследования с расчетами, многократной апробацией теоретическими результатов на научных семинарах и конференциях. Результаты находятся в соответствии с результатами, полученными другими авторами.

Апробация работы. Основные результаты работы докладывались и обсуждались на международных и всероссийских конференциях: **XVIII—XIX** Международная молодежная научная школа «Когерентная оптика и оптическая спектроскопия» (КФУ, Казань, 2014—2015 гг.); **XI—XII** Конференция молодых учёных «Молодёжь и инновации Татарстана», (КФТИ, Казань, 2014—2015 гг.); **IX—X** семинар памяти Д.Н. Клышко

(МГУ, Москва; Завидово, Московская обл., 2015—2017 гг.); XII—XIII международные чтения по квантовой оптике (МПГУ, Москва, 2015 г.; ВлГУ, Владимир, 2019 г.); XIII Всероссийский молодежный «Самарский конкурс-конференция научных работ по оптике и лазерной физике» (ФИАН, Самара, 2015 г.); XII международная научная школа-семинар «Фундаментальные исследования и инновации: нанооптика, фотоника и когерентная спектроскопия» (Яльчик, Йошкар-Ола, 2017 г.); XI международный симпозиум по фотонному эхо и когерентной спектроскопии (Светлогорск, 2017 г.); IV Российско-германско-французский симпозиум по лазерной физике (КАИ, Казань, 2018 г.); VIII Российско-китайский симпозиум по лазерной физике и фотонике (Казань, 2018 г.); V международная конференция по квантовым технологиям, (РКЦ, Москва, 2019 г.); IX Российско-германская неделя молодого учёного, (МГУ, Москва, 2019 г.);

Публикации по теме научной работы. По материалам диссертации опубликовано 19 работ. Из них 6 статей в журналах, рекомендованных ВАК, 12 — в сборниках тезисов и трудах конференций, получен патент на изобретение. Список публикаций по теме диссертации приведён в конце автореферата.

Личный вклад автора. Все приведенные численные расчеты и экспериментальные результаты получены лично автором или при его непосредственном участии. Автор принимал активное участие в обсуждении результатов исследований, подготовке результатов к публикации и их апробации на научных конференциях.

Структура и объем работы. Текст диссертации состоит из введения, трёх глав, заключения, благодарностей, списка публикаций автора и библиографического списка цитируемой литературы. Материал изложен на 134 страницах, содержит 52 иллюстрации и список из 251 библиографических наименования.

КРАТКОЕ СОДЕРЖАНИЕ РАБОТЫ

Первая глава имеет обзорный характер по основным вопросам, относящимся к теме диссертационного исследования.

В §1.1 рассматриваются понятия однофотонных и двухфотонных состояний света. Описываются различные методы генерации таких состояний, указываются преимущества и недостатки каждого метода.

В §1.2 приводится описание нелинейно-оптических явлений, изучению

которых посвящена диссертация: спонтанному параметрическому рассеянию и спонтанному четырёхволновому смешению.

- §1.3 посвящён рассмотрению нелинейных сред, в которых исследуются СПР и СЧВС в диссертации. В частности, в разделе 1.3.1 внимание уделено кристаллам с периодической модуляцией нелинейности, а также оптическим волноводам, расположенным в кристалле, а в разделе 1.3.2 рассматриваются оптические волокна, нановолокна и фотонно-кристаллические волокна.
- §1.4 посвящён однофотонным источникам с оповещением на основе СПР и СЧВС, а также различным состояниям, в которых могут находиться одиночные фотоны и пары фотонов: перепутанным, факторизованным, чистым и смешанным. Описываются методы определения степени перепутанности двухфотонных состояний.
- В **§1.5** приводится обзор различных методов измерения показателя преломления сред. Основное внимание уделено схемам, основанным на оптических нановолокнах.

Во **второй главе** исследуется противонаправленное спонтанное параметрическое рассеяние в диэлектрических волноводах с периодической модуляцией нелинейности (рис. 1). Выбор последних связан с возможностью

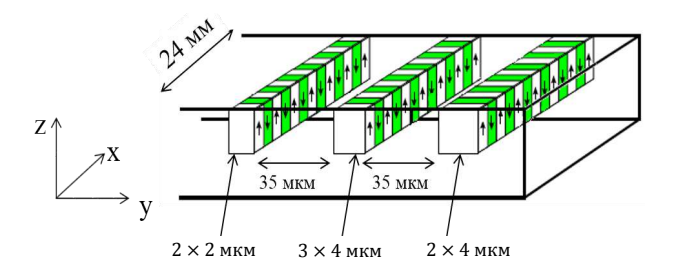


Рисунок 1: Схематичное изображение волноводов, расположенных в кристалле КТР.

существенного увеличения эффективности СПР за счёт малого поперечного сечения мод в волноводах, а также удовлетворения условиям фазового синхронизма на необходимых длинах волн в коллинеарном режиме СПР за счёт модуляции нелинейности.

- В $\S 2.1$ рассматривается модель диэлектрических волноводов, расположенных в кристалле KTP (KaTiOPO₄). Приводятся результаты численных расчётов модовых функций и эффективных показателей преломления волноводов.
- §2.2 посвящён анализу эффективности различных режимов СПР. При фиксированной длине волны поля накачки 532 нм условиям фазового синхронизма удовлетворяют различные комбинации частот, поперечных мод и поляризаций сигнального и холостого полей. В общем случае, бифотонное поле описывается суперпозицией различных троек мод, каждая из которых

характеризуется своей эффективностью (интегралом перекрытия):

$$\eta_{\text{CHP}} = \int u_{m_p n_p}(\rho) u_{m_s n_s}^*(\rho) u_{m_i n_i}^*(\rho) d^2 \rho , \quad d^2 \rho = dy dz ,$$
(1)

где $u_{m_l n_l}(\rho)$ (l=p,s,i) — модовые функции трёх взаимодействующих полей. Другим фактором, влияющим на эффективность различных процессов СПР, является перекрытие между модой накачки в свободном пространстве и модой накачки в волноводе, что определяется следующим выражением:

$$\eta_{m_p n_p} = \int u_{m_p n_p}(\rho) E_{in}(\rho) d^2 \rho , \qquad (2)$$

где $E_{in}(\rho)$ – поперечное пространственное распределение поля в падающем на кристалл пучке накачки. Показано, что при возбуждении пучком накачки, имеющим двумерное гауссово пространственное распределение интенсивности в поперечном сечении, наиболее эффективно (47%) возбуждается фундаментальная Эрмит-Гауссова мода накачки в волноводе (TEM_{00}^p) и лишь небольшая часть энергии падающего излучения сконцентрирована в модах более высокого порядка [A2].

Результирующая эффективность различных процессов, равная $\eta = \eta_{m_p n_p} \eta_{\text{СПР}},$ показана на рис. 2. Основной вклад в рассеянное поле вносят

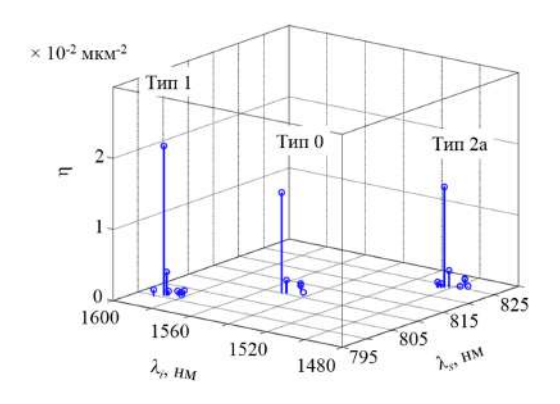


Рисунок 2: Эффективность различных процессов СПР в рассматриваемом волноводе. В каждом случае наибольшее значение соответствует взаимодействию между фундаментальными модами.

процессы $TEM_{00}^p \to TEM_{00}^s + TEM_{00}^i$, при которых взаимодействие происходит между фундаментальными модами. Остальные процессы имеют более низкую эффективность и, как правило, не наблюдаются.

В §2.3 описывается расчёт длительности, спектральной ширины и чистоты однофотонных состояний на основе интерференции Хонга-Оу-Манделя. Показано, что при оптимальной длительности импульсов накачки 6 пс чистота однофотонных состояний принимает значение, равное 0.96. Длительность однофотонного волнового пакета, испущенного в противоположном направлении (по отношению к накачке) составляет 300 пс, что соответствует спектральной ширине 2.9 ГГц на длине волны 1414 нм.

В §2.4 описан эксперимент по наблюдению противонаправленного режима СПР. Для доказательства квантовой природы излучения проведены измерения автокорреляционной функции с оповещением. Значение данной функции при нулевой задержке составило 0.012 ± 0.004 при средней мощности накачки 15 мВт, что соответствует однофотонной статистике. Скорость генерации пар фотонов составила 63 кГц/мВт.

На основе измерений спектра поля накачки и сигнального поля показано, что противонаправленный режим СПР позволяет генерировать однофотонные состояния, обладающие в разы меньшей спектральной шириной по сравнению с сонаправленным режимом. Для измерения спектра сигнального поля и поля накачки использовался резонатор Фабри-Перо. Ширина линии резонатора составляет 0.03 нм, а теоретически ожидаемая спектральная ширина противонаправленного СПР – 0.006 нм. Экспериментальные результаты также показывают, что спектральная ширина СПР не превышает ширину линии резонатора. Однако для сонаправленного режима спектральная ширина составляет 0.15 нм [9], что не проявляется в эксперименте.

Третья глава посвящена исследованию спонтанного четырёхволнового смешения оптических нановолокнах (рис. 3). Использование последних качестве нелинейной среды позволяет В

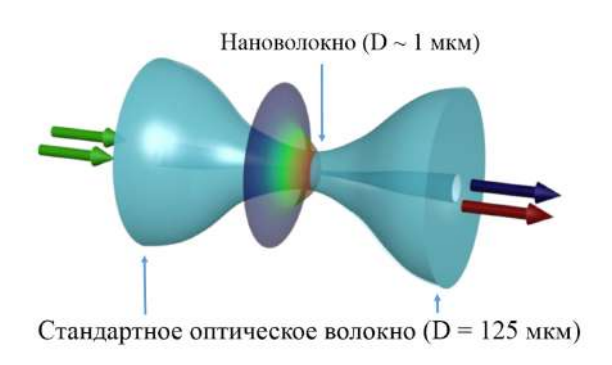


Рисунок 3: Схематичное изображение оптического нановолокна.

существенно увеличить эффективность СЧВС за счёт малого поперечного сечения мод, а также, за счёт согласования мод, избавиться от потерь при совмещении источника с волоконными телекоммуникационными сетями.

В §3.1 рассматривается теория СЧВС в нановолокнах постоянного диаметра (в регулярных нановолокнах). Приводятся результаты численного моделирования функции фазового синхронизма и совместной спектральной амплитуды для регулярного нановолокна. На основе проведённых расчётов определены оптимальные условия для наблюдения сильно невырожденного режима СЧВС на длинах волн 1550 нм и 810 нм. Длина волны накачки составляет 1064 нм, диаметр нановолокна – 925 нм.

Помимо СЧВС в нановолокие происходит комбинационное рассеяние поля накачки, которое вносит нежелательный вклад в регистрируемое

излучение. Для уменьшения вклада комбинационного рассеяния и отделения его от спектра СЧВС по длине волны нановолокно можно охлаждать. Приведены результаты исследования влияния температуры нановолокна на совместную спектральную амплитуду бифотонного поля.

В §3.2 приводится анализ влияния профиля нановолокон на спектр бифотонного поля. Диаметр изготавливаемых нановолокон в действительности не является постоянной величиной, а изменяется вдоль продольной координаты. Такие нановолокна называются нерегулярными. В этом случае в соответствии с методом поперечных сечений [10] нерегулярное нановолокно разбивается на короткие (по сравнению с длиной нановолокна) сечения, диаметр которых можно считать постоянным. Тогда расчёт спектральной амплитуды бифотонного поля во всём нановолокне сводится к расчёту амплитуд в каждом сечении и последующему их сложению с соответствующими амплитудами и фазами. Функция фазового синхронизма в этом случае принимает вид:

$$\mathcal{J}(\omega_s, \omega_i) = \sum_{q=1}^N \left(\operatorname{sinc}\left(\frac{\Delta k_q(\omega_s, \omega_i)l}{2}\right) \exp\left(\frac{i\Delta k_q(\omega_s, \omega_i)l}{2}\right) \times \exp\left(i\sum_{n=q+1}^N \Delta k_n(\omega_s, \omega_i)l\right) \eta_{m_p n_p, m_p n_p, m_s n_s, m_i n_i}^q \right), \tag{3}$$

где q — номер сечения, N — число сечений, l — длина сечения, $\Delta k_q = 2k_p^q - k_s^q - k_i^q$ — расстройка волновых векторов в сечении с индексом q, η^q — интеграл перекрытия между четырьмя взаимодействующими модами в сечении с индексом q, m и n — индексы поперечных мод. Выражение (3) описывает общий случай СЧВС в нановолокнах с переменным

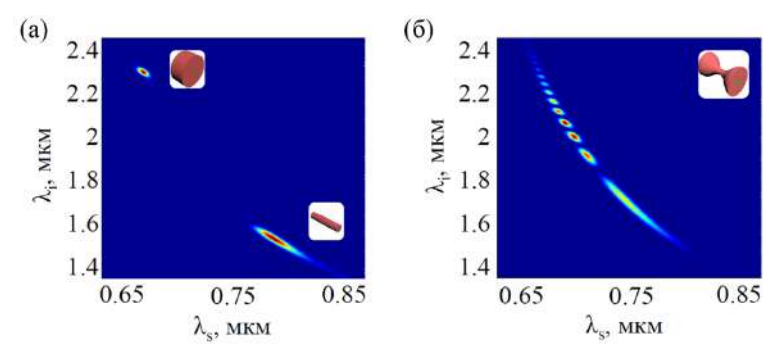


Рисунок 4: Совместная спектральная интенсивность для регулярного нановолокна, стандартного оптоволокна (а) и нерегулярного нановолокна (б).

сечением. Численные расчёты показывают, что учёт нерегулярности профиля нановолокна позволяет выявить модуляцию спектра бифотонного поля (рис. 4). Подбирая профиль нановолокна, можно управлять спектром СЧВС и генерировать частотно-перепутанные двухфотонные состояния в широком диапазоне частот.

В §3.3 проведён анализ возможности генерации факторизованных двухфотонных состояний в нановолокнах с переменным сечением. Идеальный однофотонный источник на основе СЧВС должен генерировать чистые (неразличимые) однофотонные состояния. В случае источников, основанных на СПР или СЧВС это приводит к требованию факторизации совместной спектральной амплитуды бифотонного поля. Показано, что, используя фемтосекундную накачку (37 фс) на длине волны 490 нм, можно эффективно генерировать факторизованные двухфотонные состояния и широкополосные однофотонные состояния с высокой степенью чистоты в нановолокне со средним диаметром 925 нм (рис. 5). Важно отметить, что

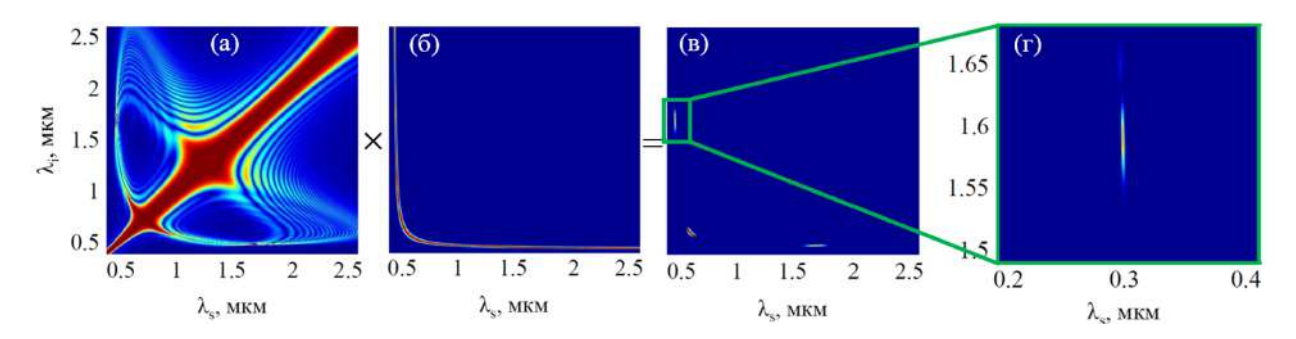


Рисунок 5: График функции фазового синхронизма, рассчитанный по выражению (3) (a), функция накачки (б) и их произведение — совместная спектральная амплитуда (в,г). График спектральной амплитуды вытянут вдоль одной из осей, что означает факторизацию двухфотонного состояния.

генерация холостых фотонов при этом происходит в телекоммуникационном диапазоне длин волн, а благодаря нерегулярности профиля нановолокна удаётся достичь эффективности невырожденного режима СЧВС, сравнимой с вырожденным режимом [А6]. Подбирая параметры нановолокна и излучения накачки, можно генерировать подобные однофотонные состояния в широком диапазоне длин волн.

§3.4 посвящён разработке метода определения показателя преломления сред на основе СЧВС в оптических нановолокнах. Показано, что помещение нановолокна, в котором наблюдается СЧВС, в среду с линией поглощения в области длин волн холостого поля за счет условий фазового синхронизма приводит к сдвигу длины волны как холостого, так и сигнального поля (рис. 6). С практической точки зрения важным является частный случай, когда длина волны холостого поля находится в ИК области, а сигнального — в видимой. В этом случае корреляционные свойства бифотонного поля позволяют определять величину показателя преломления сред в ИК области, регистрируя фотоны только в видимой области спектра. Поскольку эффективность ИК детекторов крайне низка (\sim 1% при T = 300K), данный метод рефрактометрии позволяет избавиться от ИК детекторов и тем самым повысить эффективность определения показателя преломления. Чувствительность рефрактометрических сенсоров определяется отношением

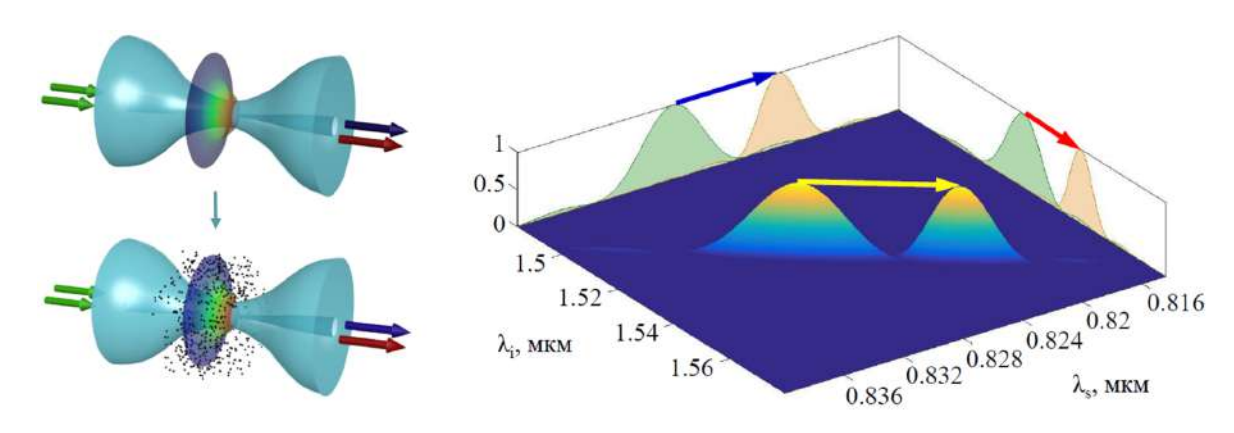


Рисунок 6: Помещение оптического нановолокна в исследуемую среду (слева), сдвиг совместной спектральной интенсивности и соответствующие сдвиги спектров сигнального и холостого полей (справа).

величины сдвига длины волны к величине изменения показателя преломления при помещении нановолокна в исследуемую среду: $S = \Delta \lambda / \Delta n$.

Чувствительность данного метода составляет 10^5 нм/RIU, где RIU – единицы показателя преломления (Refractive Index Units), тогда как рекордная чувствительность, достигнутая на 2019 г. составляет 10^4 нм/RIU [11].

В §3.5 исследуется возможность генерации чистых однофотонных состояний в фотонно-кристаллических волокнах. Приводится расчёт совместной спектральной амплитуды бифотонного поля, генерируемого в фотонно-кристаллическом волокне. Внимание уделено анализу степени чистоты однофотонных состояний с помощью разложения Шмидта. Показано, что, используя коммерческое фотонно-кристаллическое волокно с нулевой дисперсией на длине волны 800 нм, можно генерировать однофотонные состояния с высокой степенью чистоты. Определены оптимальные параметры поля накачки, при которых чистота однофотонных волновых пакетов является максимальной, а число Шмидта является минимальным и составляет 1.0451, что близко к идеальному значению, равному 1. Генерация холостых фотонов при этом осуществляется в телекоммуникационном диапазоне длин волн.

В §3.6 приводятся результаты экспериментов по изготовлению и характеризации оптических нановолокон. Данные эксперименты были выполнены в сотрудничестве с группой проф. Хакуты в Центре фотонных инноваций университета электро-коммуникаций, Токио.

В процессе изготовления стандартное кварцевое оптическое волокно ($D_{\text{ядра}} \approx 10$ мкм, $D_{\text{оболочки}} = 125$ мкм) закрепляется напротив неподвижного пламени на двух трансляторах. Задавая параметры движения трансляторов, волокно вытягивается так, что диаметр перетяжки становится сравним с длиной волны видимого света. Для контроля адиабатичности профиля в процессе вытягивания измерялся коэффициент пропускания нановолокна. По окончании изготовления пропускание нановолокон составило 99.6% на

длине волны 680 нм. Диаметр нановолокна, необходимый для наблюдения сильно невырожденного режима СЧВС и генерации холостых фотонов в телекоммуникационном диапазоне длин волн по теоретическим расчётам составляет ≈ 890 нм. Профиль изготовленного нановолокна был измерен с помощью сканирующего электронного микроскопа. Все изготовленные нановолокна имеют диаметр 890 ± 12 нм и длину перетяжки 14 мм. После изготовления нановолокна были запечатаны в бокс для защиты от пыли и транспортировки в Казанский физико-технический институт для проведения дальнейших экспериментов.

§3.7 посвящён экспериментам по генерации однофотонных и двухфотонных состояний света на основе СЧВС в оптических нановолокнах.

Исследована зависимость скорости фотоотсчётов между сигнальным и холостым каналами от задержки между ними (кросс-корреляционная функция). Пик при нулевой задержке свидетельствует о двухфотонной статистике регистрируемого излучения. Скорость фотоотсчётов в сигнальном канале проявляет квадратичную зависимость от средней мощности накачки, что свидетельствуют о преобладающем вкладе бифотонного поля в регистрируемое излучение.

Приведены результаты экспериментальных измерений и теоретических расчётов совместной спектральной интенсивности бифотонного поля. Показано, что СЧВС в нерегулярных нановолокнах позволяет генерировать широкополосные частотно-перепутанные двухфотонные состояния (рис. 7). Центральные длины волн сигнального и холостого полей равны 1310 нм

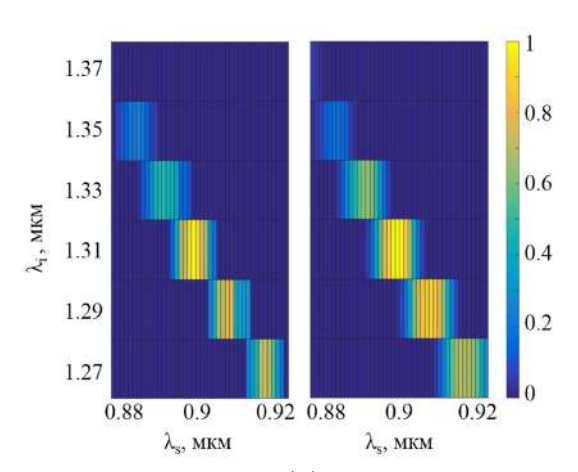


Рисунок 7: Экспериментально измеренная (a) и численно рассчитанная (б) совместные спектральные интенсивности бифотонного поля, генерируемого в нановолокие. Наклон данного графика относительно частотных осей свидетельствует о частотной-корреляции между фотонами пары.

и 900 нм, а их спектральные ширины — $\Delta \lambda_s \approx 40$ нм и $\Delta \lambda_i \approx 60$ нм, соответственно. Наблюдаемая скорость генерации составила 60 пар/с при средней мощности накачки 127 мВт.

Представлены результаты измерений гистограммы автокорреляции с оповещением, которые свидетельствуют об однофотонной статистике

сигнального поля, что позволяет использовать двухфотонный источник для получения однофотонных состояний с оповещением.

В заключении сформулированы основные результаты диссертационной работы:

- 1. Создан источник однофотонных и перепутанных двухфотонных состояний света на основе противонаправленного спонтанного параметрического рассеяния света в волноводе РР КТР. Данный режим позволяет генерировать узкополосные однофотонные состояния света.
- 2. Произведен учёт нерегулярного профиля оптических нановолокон. Нерегулярность профиля оптических нановолокон приводит к модуляции спектра бифотонного поля.
- 3. Разработан метод определения показателя преломления сред. С помощью спонтанного четырёхволнового смешения в оптических нановолокнах можно с высокой чувствительностью измерять показатель преломления сред в ИК области, регистрируя фотоны только в видимой области спектра. Метод позволяет отказаться от использования дорогостоящей и низкоэффективной аппаратуры.
- 4. Изготовлена и охарактеризована серия идентичных оптических нановолокон. Создан и охарактеризован источник однофотонных и двухфотонных состояний света на основе спонтанного четырёхволнового смешения в оптических нановолокнах. Оптические нановолокна позволяют генерировать перепутанные двухфотонные, а также однофотонные состояния, с перестройкой по длине волны в широких пределах.

СПИСОК РАБОТ, ОПУБЛИКОВАННЫХ ПО ТЕМЕ ДИССЕРТАЦИИ

Статьи в рецензируемых журналах:

- A1. Heralded single-photon and correlated-photon-pair generation via spontaneous four-wave mixing in tapered optical fibers / A.A. Shukhin, J. Keloth, K. Hakuta, A.A. Kalachev // Phys. Rev. A. 2020. V. 101, № 5. P. 053822.
- A2. Simulating single-photon sources based on backward-wave spontaneous parametric down-conversion in a periodically poled KTP waveguide / A.A. Shukhin, D.O. Akatiev, I.Z. Latypov, A.V. Shkalikov, A.A. Kalachev // Journal of Physics: Conference Series. 2015. V.613,№1. P. 012015.

- A3. Backward-wave spontaneous parametric down-conversion in a periodically poled KTP waveguide / I.Z. Latypov, A.A. Shukhin, D.O. Akat'ev, A.V. Shkalikov, A.A. Kalachev // Quantum Electronics. 2017. V. 47, № 9. P. 827.
- A4. Shukhin, A.A. Spectral features of spontaneous four-wave mixing in tapered nanofibers / A.A. Shukhin, A.A. Kalachev // Computer Optics. 2016. V. 40, № 2. P. 141—146.
- A5. Generation of pure single-photon states in commercial photonic-crystal fibers on telecommunication frequencies / A.A. Talipov, A.G. Shmelev, A.A. Shukhin, I.Z. Latypov // Наносистемы: физика, химия, математика. 2017. Т.8, № 3.
- Аб. Шухин, А.А. Генерация чистых однофотонных состояний в режиме спонтанного четырехволнового смешения в нановолокнах с переменным сечением / А.А. Шухин, А.А. Калачёв // Известия Российской академии наук. Серия физическая. 2016. Т. 80, № 7. С. 861—864.

Тезисы и материалы конференций:

- A7. Shukhin, A.A. Spontaneous Four-Wave Mixing in an Irregular Nanofiber / A.A. Shukhin, A.A. Kalachev // EPJ Web of Conferences. 2015. V. 103. P. 06009.
- A8. Shukhin, A.A. Spontaneous four-wave mixing in optical nanofibers at low temperatures / A.A. Shukhin, A.A. Kalachev // EPJ Web of Conferences. 2017. V. 161. P. 03016.
- А9. Шухин, А.А. Теоретическое исследование спонтанного четырехволнового смешения в суженных оптических нановолокнах / А.А. Шухин, А.А. Калачёв // Ежегодник КФТИ. 2016. С. 142—145.
- А10. Шухин, А.А. Интегральный однофотонный источник на основе оптических нановолокон / А.А. Шухин , А.А. Калачёв // Ежегодник КФТИ. 2017. С. 85—86.
- А11. Шухин, А.А. Бифотонная рефрактометрия на основе спонтанного четырёхволнового смешения в нановолокнах / А.А. Шухин, А.А. Калачёв // XI Международный симпозиум по фотонному эхо и когерентной спектроскопии: Сборник тезисов. 2017. С. 203.
- А12. Исследование нелинейного волновода PP КТР для наблюдения противонаправленного спонтанного параметрического рассеяния / А.А. Шухин, И.З. Латыпов, А.В. Шкаликов и А.А. Калачёв // Когерентная оптика и оптическая спектроскопия: XVII Международная молодёжная нучная школа: Сборник тезисов. 2014. С. 220—224.
- А13. Шухин, А.А. Разработка однофотонного источника на основе нелинейных явлений в оптических волокнах / А.А. Шухин, А.А. Калачёв // 6-я республиканская конференция "Молодёжь и инновации Татарстана: Сборник тезисов". 2014. С. 15—17.

- А14. Шухин, А.А. Спонтанное четырёхволновое смешение в нерегулярных нановолокнах / А.А. Шухин, А.А. Калачёв // XIII Всероссийский молодёжный самарский конкурс-конференция научных работ по оптике и лазерной физике: Сборник конкурсных докладов". 2015. С. 198—204.
- А15. Шухин, А.А. Теоретический анализ спонтанного четырёхволнового смешения в оптическом волокне и нановолокне / А.А. Шухин, А.А. Калачёв // Итоговая конеференция молодых учёных КФТИ: Сборник материалов конференции". 2015. С. 13—18.
- А16. Шухин, А.А. Бифотонная рефрактометрия на основе спонтанного четырёхволнового смешения в суженных волокнах / А.А. Шухин, А.А. Калачёв // Истоговая конеференция молодых учёных КФТИ: Сборник материалов конференции". 2016. С. 43—44.
- А17. Источник неклассических состояний света и оптических сенсор на основе нановолокон / А.А. Шухин, А.А. Shukhin, J. Keloth, K.Hakuta, А.А. Калачёв // XIII Международные чтения по квантовой оптике (IWQO 2019): Сборник тезисов. 2019. С. 246. 247.
- А18. Шухин, А.А. Спонтанное четырёхволновое смешение в нерегулярных нановолокнах / А.А. Шухин, А.А. Калачёв // XII Международные чтения по квантовой оптике (IWQO 2015): Сборник статей. 2015. С. 152—154.

Патент:

 A19. Шухин
 A.A.,
 Калачёв
 A.A..
 Способ
 определения

 показателя
 преломления
 среды.
 2018.
 URL:

 https://yandex.ru/patents/doc/RU2685754C1
 20190423; RU2685754C1.

СПИСОК ЦИТИРУЕМОЙ ЛИТЕРАТУРЫ

- 1. O'brien, J. L. Photonic quantum technologies / J. L. O'brien, A. Furusawa, J. Vuvckovic // Nature Photonics. 2009. Vol. 3, № 12. P. 687.
- 2. Flamini, F. Photonic quantum information processing: a review / F. Flamini, N. Spagnolo, F. Sciarrino // Reports on Progress in Physics. 2018. Vol. 82, № 1. P. 016001.
- 3. Invited review article: Single-photon sources and detectors / M. D. Eisaman, J. Fan, A. Migdall, S. V. Polyakov // Review of scientific instruments. $2011. \text{Vol. } 82, \, \text{N} 2. \text{P. } 071101.$
- 4. Stegeman, G. I. Waveguides and fibers for nonlinear optics / G. I. Stegeman, R. H. Stolen // JOSA B. 1989. Vol. 6, № 4. P. 652–662.
- 5. Nonlinear optics in photonic nanowires / M. A. Foster, A. C. Turner, M. Lipson, A. L. Gaeta // Optics Express. 2008. Vol. 16, № 2. P. 1300–1320.
- 6. Quantum repeaters based on atomic ensembles and linear optics / N. Sangouard, C. Simon, H. De Riedmatten, N. Gisin // Reviews of Modern Physics. 2011. Vol. 83, $N_2 1.$ P. 33.
- 7. Single-photon generation and detection: physics and applications / A. Migdall, S. V. Polyakov, J. Fan, J. C. Bienfang. Academic Press, 2013. Vol. 45.
- 8. Advances in photonic quantum sensing / S. Pirandola, B. R. Bardhan, T. Gehring [et al.] // Nature Photonics. 2018. Vol. 12, N 12. P. 724—733.
- 9. A wavelength-tunable fiber-coupled source of narrowband entangled photons / A. Fedrizzi, T. Herbst, A. Poppe [et al.] // Optics Express. 2007. Vol. 15, N_2 23. P. 15377–15386.
- 10. Katsenelenbaum, B. Theory of irregular waveguides with slowly varying parameters / B. Katsenelenbaum // Izd. Akad. Nauk SSSR, Moscow. 1961. P. 226.
- 11. Optical refractive index sensors with plasmonic and photonic structures: promising and inconvenient truth / Y. Xu, P. Bai, X. Zhou [et al.] // Advanced Optical Materials. 2019. Vol. 7, N_{2} 9. P. 1801433.